



FUNDAMENTALS OF INFORMATION SCIENCE

PART 4 INFORMATION TRANSMISSION VIII

—— SPREAD SPECTRUM

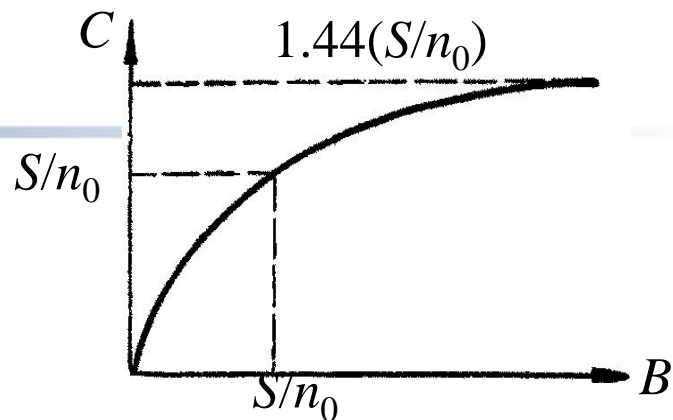
Shandong University
2025 Spring
Hailiang Xiong

§ 21.2 Spread Spectrum

扩展频谱获取信噪比增益

——理论依据：香农信道容量公式

$$C = B \log_2 \left(1 + \frac{S}{n_0 B} \right)$$



信道容量和带宽关系

结论：

- 信道容量 C 依赖于 B 、 S 和 n_0
- 增大 S 可增加 C ，若 $S \rightarrow \infty$ ，则 $C \rightarrow \infty$ ；
- 减小 n_0 可增加 C ，若 $n_0 \rightarrow 0$ ，则 $C \rightarrow \infty$ ；
- 增大 B 可增加 C ，但不能使 C 无限制增大。

当 $B \rightarrow \infty$ 时， C 将趋向一个定值：

$$\lim_{B \rightarrow \infty} C = \lim_{B \rightarrow \infty} B \log_2 \left(1 + \frac{S}{n_0 B} \right) \approx 1.44 \frac{S}{n_0}$$

$$C = B \log_2 \left(1 + \frac{S}{n_0 B} \right) \text{ (b/s)}$$

应用：

- C 一定时，信道带宽 B 、信噪比 S/N 、传输时间 t 三者之间可以互相转换。
- 增加 B ，可以换取 S/N 的降低；反之亦然。
- 若 S/N 不变，增加 B ，可以换取 t 的减少。

【例如】

$$C = 12 \times 10^3 \text{ b/s}$$

$$\left\{ \begin{array}{l} \text{互换前：若 } B_1 = 3 \text{ KHz, 则 } \frac{S_1}{N_1} = 15 \\ \text{互换后：若 } B_2 = 4 \text{ KHz, 则 } \frac{S_2}{N_2} = 7 \end{array} \right.$$

■ 扩谱（扩频）的好处

- ◆ **提高抗窄带干扰的能力**，特别是敌对电台的有意干扰。
- ◆ **防止窃听**。扩谱信号的发射功率谱密度可小于噪声的功率谱密度，将发射信号隐藏在背景噪声中，使侦听者很难发现。
此外，由于采用了伪码，窃听者不能方便地听懂发送的消息。
- ◆ **提高抗多径传输效应的能力**。由于扩谱调制采用了扩谱伪码，它可以用来分离多径信号，所以有可能提高其抗多径的能力。
- ◆ **多个用户可以共用同一频带**。在同一扩谱频带内，不同用户采用互相正交的不同扩谱码，就可以区分各个用户的信号，从而按照码分多址的原理工作。
- ◆ **提供测距能力**。通过测量扩谱信号的自相关特性的峰值出现时刻，可以从信号传输时间的大小计算出传输距离。

■ 扩谱（扩频）技术的分类

◆ 直接序列(DS)扩谱：

用一段伪随机序列（又称为伪码）表示一个信息码元，对载波进行调制。伪码的一个单元称为一个**码片**。由于码片的速率远高于信息码元的速率，所以已调信号的频谱得到扩展。

◆ 跳频(FH)扩谱：

使发射机的载频在一个信息码元的时间内，按照预定的规律，离散地快速跳变，从而达到扩谱的目的。载频跳变的规律一般也是由伪码控制的。

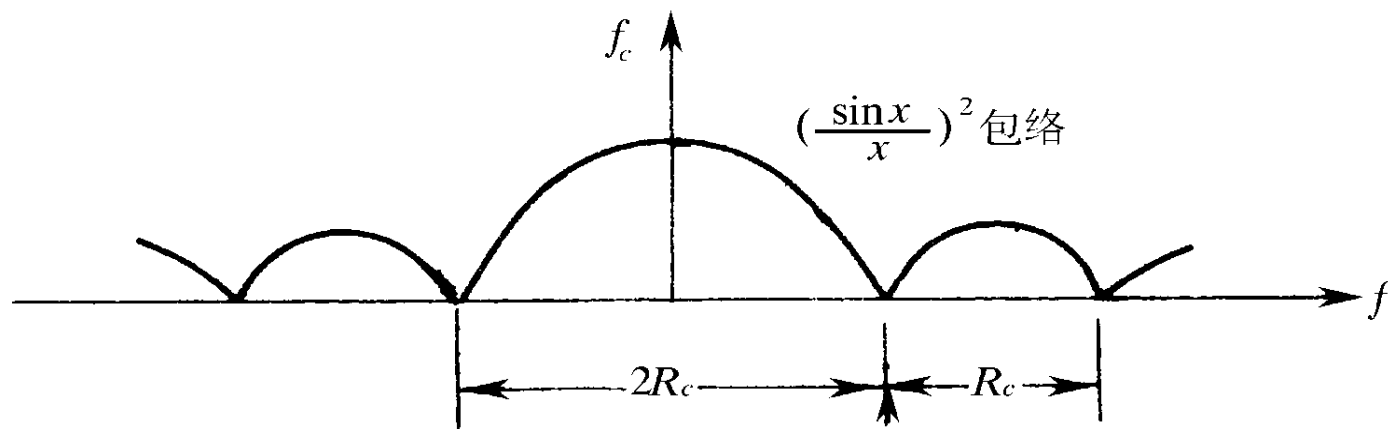
◆ 线性调频：

载频在一个信息码元时间内在一个宽的频段中线性地变化，从而使信号带宽得到扩展。由于此线性调频信号若工作在低频范围，则它听起来像鸟声，故又称“鸟声”调制。

■ 直接序列(DS)扩谱

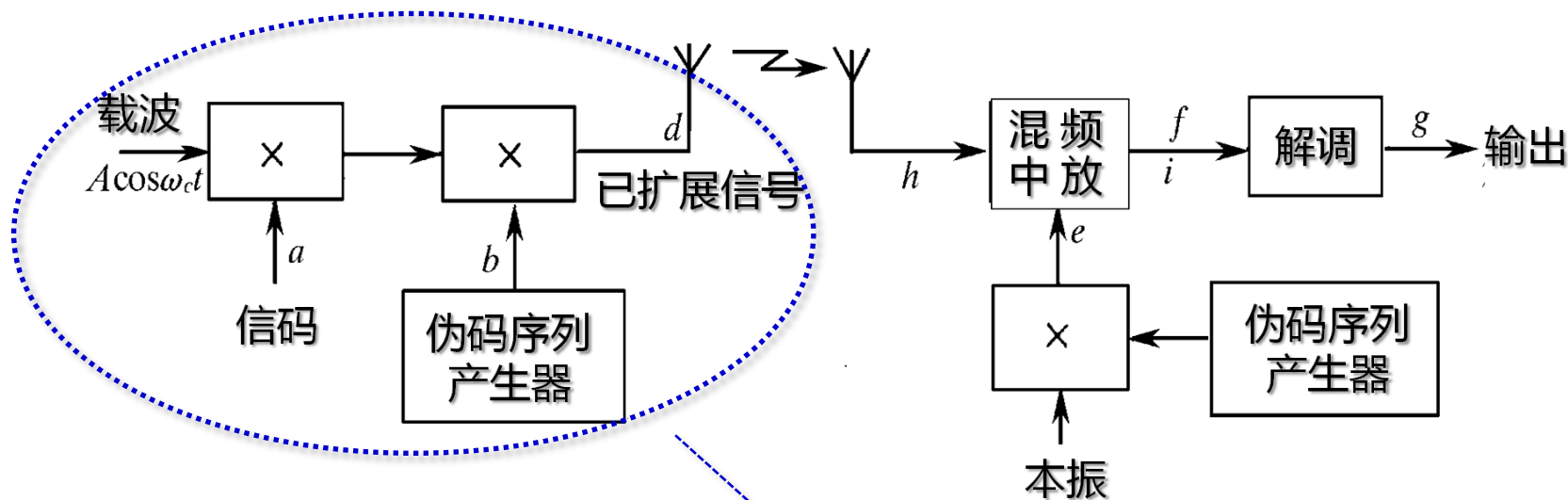
◆ 原理

用一组伪码代表信息码元去调制载波。最常用的是2PSK。这种信号的典型功率谱密度曲线示于下图中。



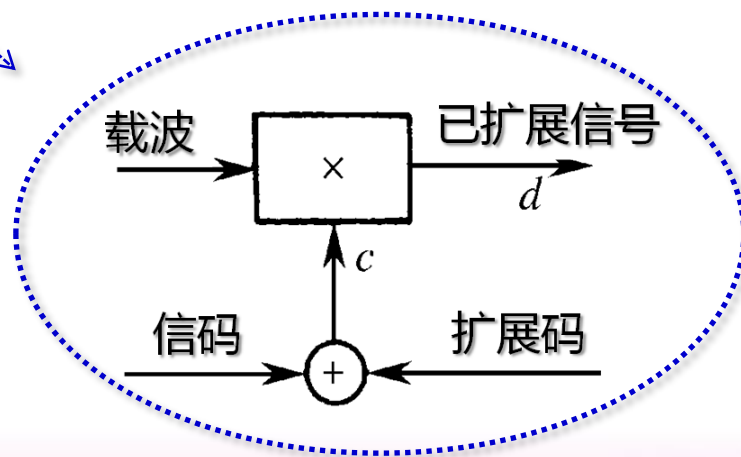
图中,所示主瓣带宽 是伪码时钟速率 R_c 的两倍。每个旁瓣的带宽等于 R_c 。例如,若所用码片的速率为 5 Mb/s,则主瓣带宽将为10 MHz,每个旁瓣宽为 5 MHz。

◆ 系统原理框图

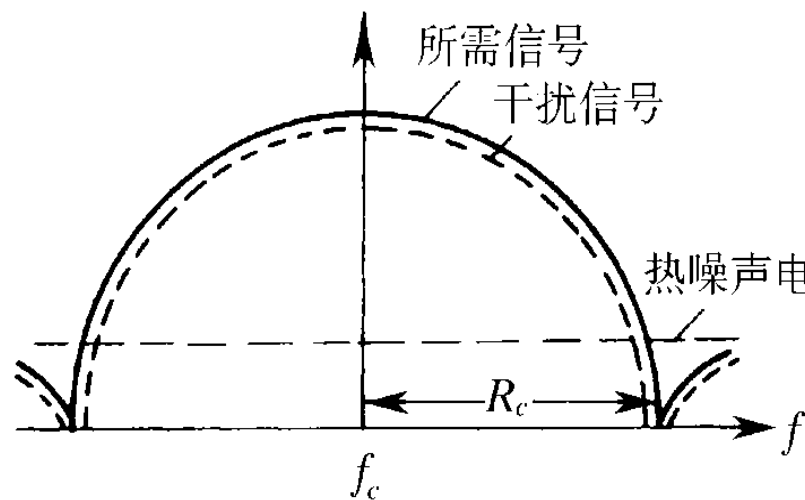


◆ 调制器简化框图：

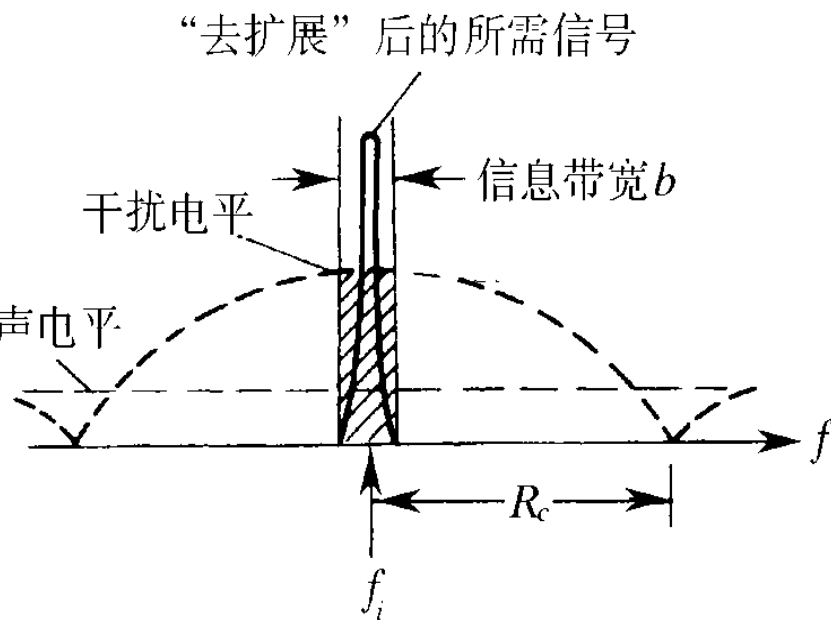
先将两路编码序列模2相加，
然后再去进行 反相键控。



◆ 信号和干扰信号在频域中的变化



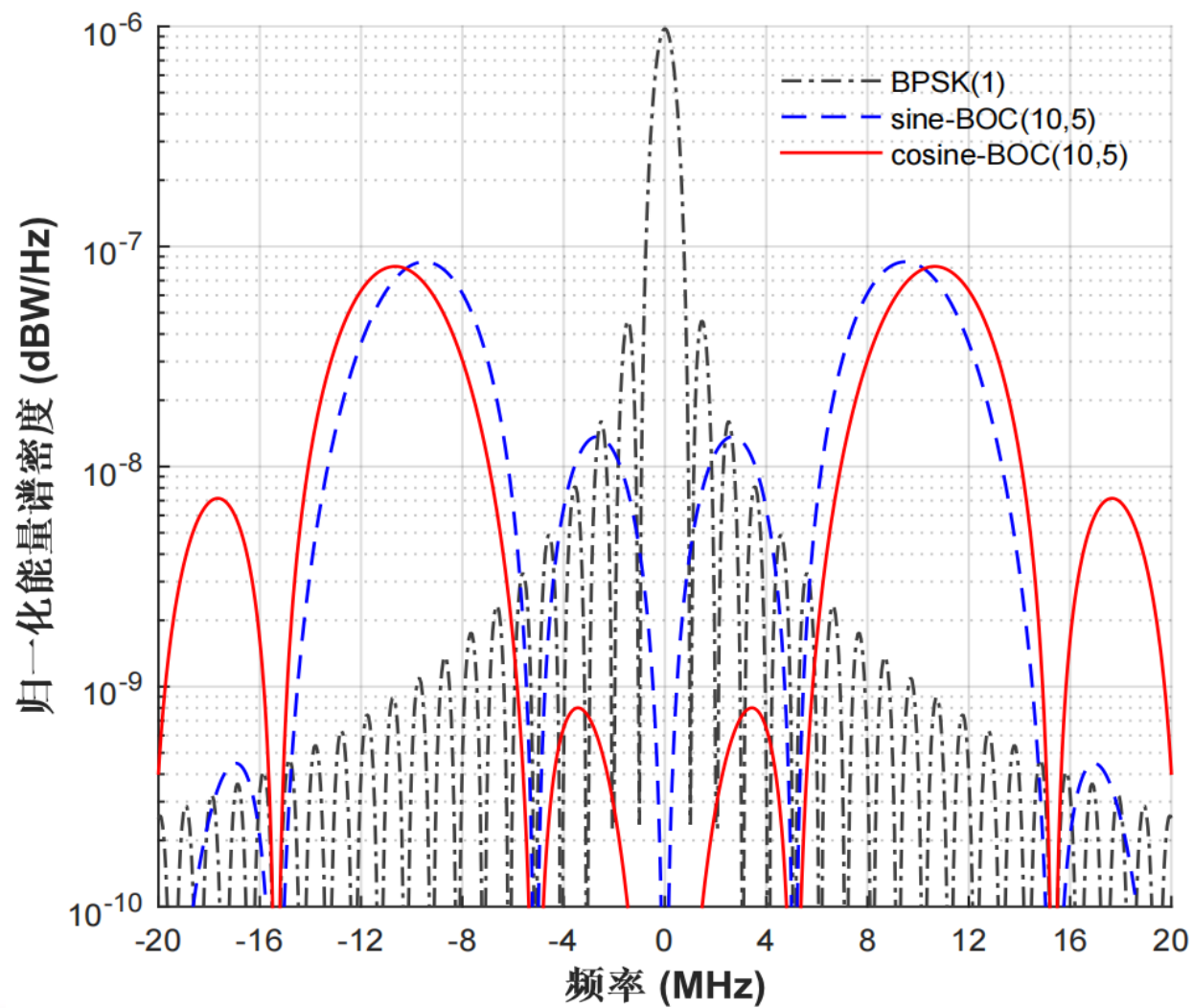
(a) 在接收机输入端



(b) 在接收机中放输出端

卫星导航定位系统是最典型的扩频系统

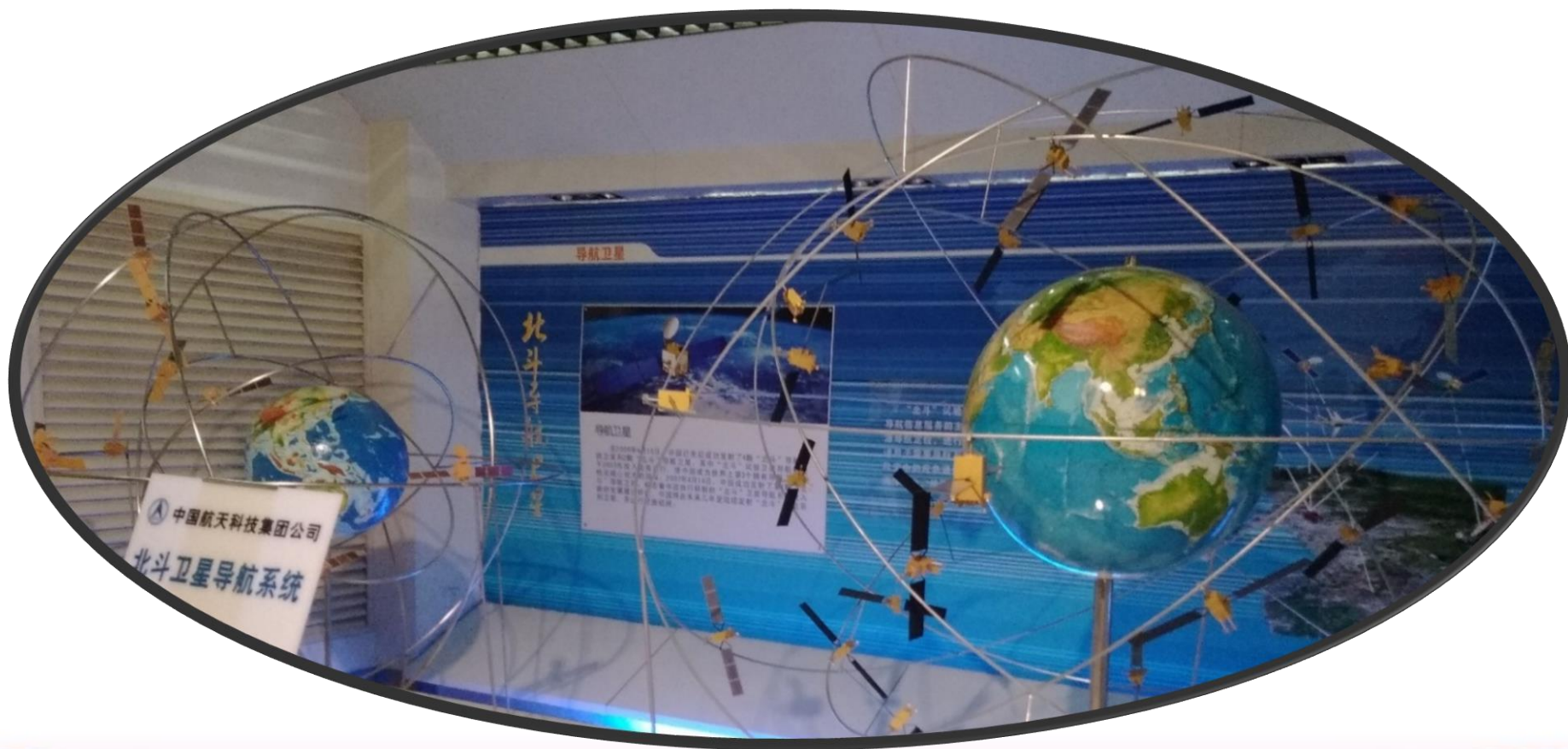




北斗“GEO+IGSO+MEO”混合星座

北斗卫星导航系统

轨道类型	卫星数量/颗	轨道高度/km
地球静止轨道卫星 (GEO)	3	35786
倾斜地球轨道卫星 (IGSO)	3	35786
地球中圆轨道卫星 (MEO)	24	21528



卫星	发射日期	轨道类型	卫星	发射日期	轨道类型
第 1 颗北斗导航实验卫星	2000.10.31	GEO	第 22 颗北斗导航卫星	2016.03.30	IGSO
第 2 颗北斗导航实验卫星	2000.12.21	GEO	第 23 颗北斗导航卫星	2016.06.12	GEO
第 3 颗北斗导航实验卫星	2003.05.25	GEO	第 24、25 颗北斗导航卫星	2017.11.05	MEO
第 4 颗北斗导航实验卫星	2007.02.03	GEO	第 26、27 颗北斗导航卫星	2018.01.12	MEO
第 1 颗北斗导航卫星	2007.04.14	MEO	第 28、29 颗北斗导航卫星	2018.02.12	MEO
第 2 颗北斗导航卫星	2009.04.15	GEO	第 30、31 颗北斗导航卫星	2018.03.30	MEO
第 3 颗北斗导航卫星	2010.01.17	GEO	第 32 颗北斗导航卫星	2018.07.10	IGSO
第 4 颗北斗导航卫星	2010.06.02	GEO	第 33、34 颗北斗导航卫星	2018.07.29	MEO
第 5 颗北斗导航卫星	2010.08.01	IGSO	第 35、36 颗北斗导航卫星	2018.08.25	MEO
第 6 颗北斗导航卫星	2010.11.01	GEO	第 37、38 颗北斗导航卫星	2018.09.19	MEO
第 7 颗北斗导航卫星	2010.12.18	IGSO	第 39、40 颗北斗导航卫星	2018.10.15	MEO
第 8 颗北斗导航卫星	2011.04.11	IGSO	第 41 颗北斗导航卫星	2018.11.01	GEO
第 9 颗北斗导航卫星	2011.07.27	IGSO	第 42、43 颗北斗导航卫星	2018.11.19	MEO
第 10 颗北斗导航卫星	2011.12.02	IGSO	第 44 颗北斗导航卫星	2019.04.20	IGSO
第 11 颗北斗导航卫星	2012.02.25	GEO	第 45 颗北斗导航卫星	2019.05.17	GEO
第 12、13 颗北斗导航卫星	2012.04.30	MEO	第 46 颗北斗导航卫星	2019.06.25	IGSO
第 14、15 颗北斗导航卫星	2012.09.19	MEO	第 47、48 颗北斗导航卫星	2019.09.23	MEO
第 16 颗北斗导航卫星	2012.10.25	GEO	第 49 颗北斗导航卫星	2019.11.05	IGSO
第 17 颗北斗导航卫星	2015.03.30	IGSO	第 50、51 颗北斗导航卫星	2019.11.23	MEO
第 18、19 颗北斗导航卫星	2015.07.25	MEO	第 52、53 颗北斗导航卫星	2019.12.16	MEO
第 20 颗北斗导航卫星	2015.09.30	IGSO	第 54 颗北斗导航卫星	2020.03.09	GEO
第 21 颗北斗导航卫星	2016.02.01	MEO	第 55 颗北斗导航卫星	2020.06.23	GEO

§ 21.3

正交编码

- 在数字通信技术中具有十分重要的地位
- 可用作纠错编码，实现码分多址通信等

21.3.1 正交编码的基本概念

■ 信号间的正交性

- ◆ 若两个周期为 T 的模拟信号 $s_1(t)$ 和 $s_2(t)$ 互相**正交**，则有：

$$\int_0^T s_1(t)s_2(t)dt = 0$$

- ◆ 若 M 个周期为 T 的模拟信号 $s_1(t)$, $s_2(t)$, ..., $s_M(t)$ 构成一个**正交信号集合**，则有：

$$\int_0^T s_i(t)s_j(t)dt = 0 \quad i \neq j; \quad i, j = 1, 2, \dots, M$$

■ 码组间的正交性

——可用**互相关系数**来描述。

① 设长为 n 的编码中 码元只取值 $+1$ 和 -1 ，以及 \mathbf{x} 和 \mathbf{y} 是其中两个码组：

$$\mathbf{x} = (x_1, x_2, x_3, \dots, x_n)$$

$$\mathbf{y} = (y_1, y_2, y_3, \dots, y_n)$$

其中 $x_i, y_i \in (+1, -1)$, $i = 1, 2, \dots, n$

则 \mathbf{x} 和 \mathbf{y} 间的互相关系数定义为

$$\rho(x, y) = \frac{1}{n} \sum_{i=1}^n x_i y_i \quad -1 \leq \rho \leq +1$$

若 $\rho(x, y) = 0$ ，则 \mathbf{x} 和 \mathbf{y} 正交。

例

如图所示的4个数字信号

可以看作是如下4个码组：

$$\begin{cases} s_1(t) : (+1, +1, +1, +1) \\ s_2(t) : (+1, +1, -1, -1) \\ s_3(t) : (+1, -1, -1, +1) \\ s_4(t) : (+1, -1, +1, -1) \end{cases}$$

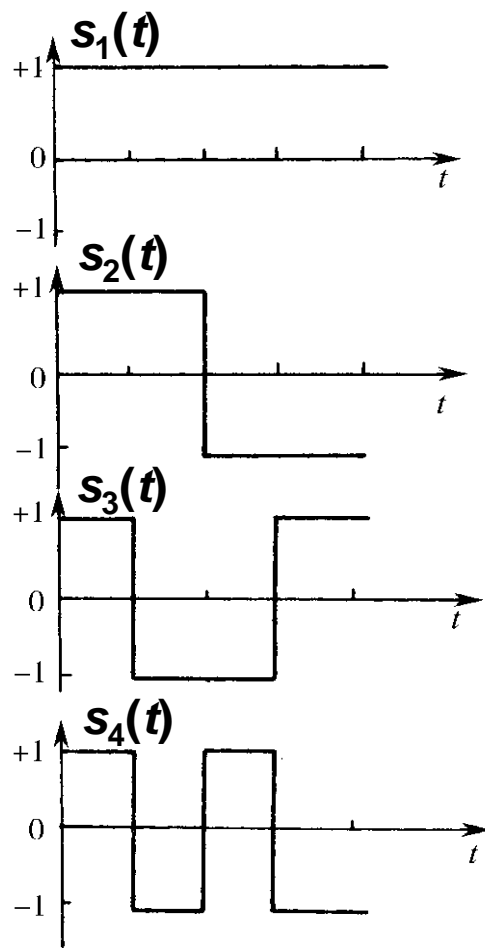
按照

$$\rho(x, y) = \frac{1}{n} \sum_{i=1}^n x_i y_i$$

计算得知：

这4个码组中任意两者间的相关系数都为0，即这4个码组两两正交。

我们把这种两两正交的编码称为——**正交编码**。



① 设长为 n 的编码中 码元只取值 $+1$ 和 -1 ，以及 \mathbf{x} 和 \mathbf{y} 是其中两个码组：

$$\mathbf{x} = (x_1, x_2, x_3, \dots, x_n)$$

$$\mathbf{y} = (y_1, y_2, y_3, \dots, y_n)$$

其中 $x_i, y_i \in (+1, -1)$, $i = 1, 2, \dots, n$

则 \mathbf{x} 和 \mathbf{y} 间的**互相关系数**定义为

$$\rho(x, y) = \frac{1}{n} \sum_{i=1}^n x_i y_i$$

$$-1 \leq \rho \leq +1$$

若 $\rho(x, y) = 0$ ，则 \mathbf{x} 和 \mathbf{y} **正交**。

② 若用二进制数字 “0和1”分别代替上述码组中的 “+1和-1”，则

$$\rho(x, y) = \frac{A - D}{A + D}$$

A --- \mathbf{x} 和 \mathbf{y} 中对应码元**相同**的个数； D --- \mathbf{x} 和 \mathbf{y} 中对应码元**不同**的个数。

例

按照上式规定, 上面例子:

可以改写成:

$$\begin{cases} s_1(t) : (0,0,0,0) \\ s_2(t) : (0,0,1,1) \\ s_3(t) : (0,1,1,0) \\ s_4(t) : (0,1,0,1) \end{cases}$$

$$\begin{cases} s_1(t) : (+1,+1,+1,+1) \\ s_2(t) : (+1,+1,-1,-1) \\ s_3(t) : (+1,-1,-1,+1) \\ s_4(t) : (+1,-1,+1,-1) \end{cases}$$

按照

$$\rho(x, y) = \frac{A - D}{A + D}$$

计算出的互相关系数仍为0。

■ 自相关系数

一个长为 n 的码组 \mathbf{x} ，其自相关系数定义为：

$$\rho_x(j) = \frac{1}{n} \sum_{i=1}^n x_i x_{i+j}, \quad j = 0, 1, \dots, (n-1)$$

式中， \mathbf{x} 的下标按模 n 运算，即有 $\mathbf{x}_{n+k} \equiv \mathbf{x}_k$ 。

例

设 $x = (x_1, x_2, x_3, x_4) = (+1, -1, -1, +1)$ ，则有：

$$\rho_x(0) = \frac{1}{4} \sum_{i=1}^4 x_i^2 = 1 \quad \rho_x(1) = \frac{1}{4} \sum_{i=1}^4 x_i x_{i+1} = \frac{1}{4} (x_1 x_2 + x_2 x_3 + x_3 x_4 + x_4 x_1) = 0$$

$$\rho_x(2) = \frac{1}{4} \sum_{i=1}^4 x_i x_{i+2} = \frac{1}{4} (x_1 x_3 + x_2 x_4 + x_3 x_1 + x_4 x_2) = -1$$

$$\rho_x(3) = \frac{1}{4} \sum_{i=1}^4 x_i x_{i+3} = \frac{1}{4} (x_1 x_4 + x_2 x_1 + x_3 x_2 + x_4 x_3) = 0$$

§ 21.4

伪随机序列

- 在数字通信技术中具有十分重要的地位。
- 在误码率测量、时延测量、扩谱通信、密码及分离多径等方面都有着十分广泛的应用。

21.4.1 基本概念

■ 伪随机序列

- ◆ 又称伪随机噪声，伪随机信号，伪随机码。

■ 什么是伪随机噪声？

- ◆ 具有类似于随机噪声的某些统计特性，同时又能够重复产生。
- ◆ 它具有随机噪声的优点，又避免了随机噪声的缺点，因此获得了日益广泛的实际应用。

■ 如何产生伪随机噪声？

- ◆ 通常，由周期性数字序列经过滤波等处理后得到。
- ◆ 因此，将这种周期性数字序列称为伪随机序列。

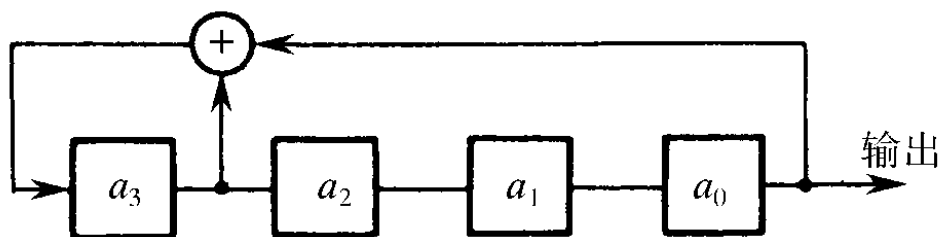
21.4.2 m序列

1. m序列的产生

- ◆ m序列是伪随机序列中最重要的一种。
- ◆ m序列是**最长线性反馈移位寄存器序列**的简称。
- ◆ 它是由带线性反馈的移存器产生的周期最长的一种序列。

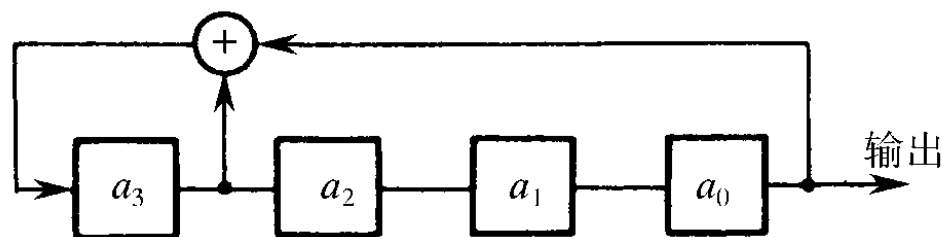
例

下图中示出一个4级线性反馈移存器。



设其初始状态 $(a_3, a_2, a_1, a_0) = (1, 0, 0, 0)$ ，则在移位1次时，由 a_3 和 a_0 模2相加产生新的输入 $a_4 = 1 \oplus 0 = 1$ ，新的状态变为 $(a_4, a_3, a_2, a_1) = (1, 1, 0, 0)$ 。这样移位15次后又回到初始状态 $(1, 0, 0, 0)$ 。

若初始状态为全“0”，即(0, 0, 0, 0)，则移位后得到的仍为全“0”状态。应该避免出现全“0”状态，否则移存器的状态将不会改变



4级 移存器共有 $2^4 = 16$ 种可能的状态。除全“0”状态外，只剩**15种**状态可用。这就是说，由任何4级反馈移存器产生的序列的周期最长为15。

一般来说，一个 **n 级**线性反馈移存器可能产生的**最长周期**等于 **$(2^n - 1)$** 。

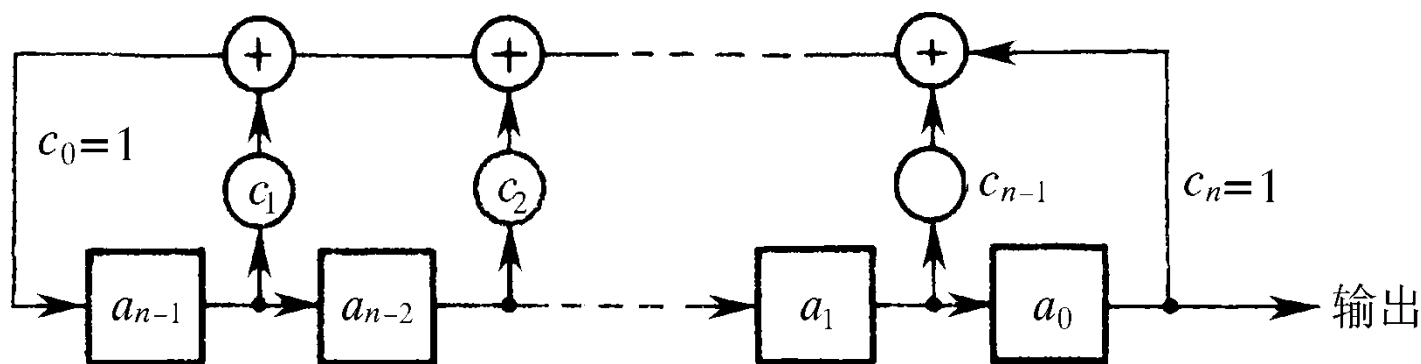
1	0	0	0
1	1	0	0
1	1	1	0
1	1	1	1
0	1	1	1
1	0	1	1
0	1	0	1
1	0	1	0
1	1	0	1
0	1	1	0
0	0	1	1
1	0	0	1
0	1	0	0
0	0	1	0
0	0	0	1

1	0	0	0

$2^4 - 1 = 15$ (个)

核心：反馈电路如何连接才能使移存器产生的序列周期最长？

■ 一般的线性反馈移存器原理方框图



图中各级移存器的状态用 a_i 表示， $a_i = 0$ 或 1 ， $i = \text{整数}$ 。

反馈线的连接状态用 c_i 表示， $c_i = 1$ 表示此线接通（参加反馈）；

$c_i = 0$ 表示此线断开。

反馈线的连接状态不同，就可能改变此移存器输出序列的周期 p 。

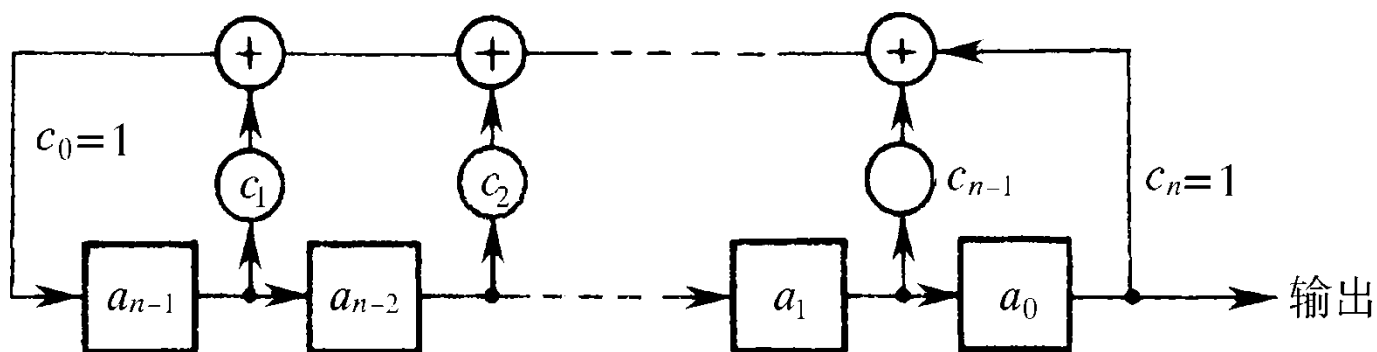
■ 基本关系式 ——与产生m序列有关的三个方程

1) 递推方程

设一个 n 级移存器的初始状态为: $a_{-1} a_{-2} \dots a_{-n}$

1次移位后: $a_0 a_{-1} \dots a_{-n+1}$ n 次移位后: $a_{n-1} a_{n-2} \dots a_0$

如图:



再移位1次时, 移存器左端新得到的输入 a_n , 按图中线路连接关系, 可写为:

$$a_n = c_1 a_{n-1} \oplus c_2 a_{n-2} \oplus \dots \oplus c_{n-1} a_1 \oplus c_n a_0 = \sum_{i=1}^n c_i a_{n-i} \quad (\text{模 } 2)$$

$$a_n = c_1 a_{n-1} \oplus c_2 a_{n-2} \oplus \cdots \oplus c_{n-1} a_1 \oplus c_n a_0 = \sum_{i=1}^n c_i a_{n-i} \quad (\text{模 } 2)$$

一般说来, 对于任意一个输入 a_k , 有

$$a_k = \sum_{i=1}^n c_i a_{k-i} \quad \text{--- 称为递推方程}$$

它给出了移位输入 a_k 与移位前各级状态的关系。

按照递推方程计算, 可以用软件产生 m 序列。

2) 特征方程 (特征多项式)

$$f(x) = c_0 + c_1x + c_2x^2 + \cdots + c_nx^n = \sum_{i=0}^n c_i x^i$$

它决定了移存器的反馈连接和序列的结构。

式中, x_i 仅指明其系数 (1或0) 代表反馈线的连接状态 c_i 的值, x 本身的取值并无实际意义。

$c_i = 1$ 表示此线接通 (参加反馈) ; $c_i = 0$ 表示此线断开。

例

若特征方程为: $f(x) = 1 + x + x^4$

则它仅表示 x_0 , x_1 和 x_4 的系数 $c_0 = c_1 = c_4 = 1$, 其余的 c_i 为 0, 即 $c_2 = c_3 = 0$ 。按照这一特征方程构成的反馈移存器就是上图所示的。

3) 母函数

$$G(x) = a_0 + a_1x + a_2x^2 + \cdots = \sum_{k=0}^{\infty} a_k x^k$$

它表示反馈移存器的输出序列 $\{a_k\}$ 。

以上 $\left\{ \begin{array}{l} \text{递推方程} \\ \text{特征方程} \\ \text{母函数} \end{array} \right\}$ ——与产生m序列有关的三个基本方程

下面 **【几个定理】** ——将给出它们与线性反馈移存器及其产生的序列之间的关系。

■ 几个定理 ——有关m序列和m序列产生器性质

【定理12.1】

$$f(x) \cdot G(x) = h(x)$$

式中， $h(x)$ 为次数低于 $f(x)$ 的次数的多项式。

$$h(x) = \sum_{i=1}^n c_i x^i \left(a_{-i} x^{-i} + a_{-(i-1)} x^{-(i-1)} + \cdots + a_{-1} x^{-1} \right)$$

可见，当电路给定后， $h(x)$ 仅决定于初始状态($a_{-i} \dots a_{-1}$)。

【定理12.2】

一个 n 级线性反馈移存器之相继状态具有周期性，
周期为 $p \leq 2^n - 1$ 。

【定理12.3】

若序列 $A = \{a_k\}$ 具有最长周期 ($p = 2^n - 1$)，则其特征多项式 $f(x)$ 应为既约多项式。

【定理12.4】

一个 n 级移存器的特征多项式 $f(x)$ 若为既约的，则由其产生的序列 $A = \{a_k\}$ 的周期等于使 $f(x)$ 能整除的 $(x^p + 1)$ 中最小正整数 p 。

■ 本原多项式

◆ 若一个 n 次多项式 $f(x)$ 满足下列条件：

- $f(x)$ 为既约的；
- $f(x)$ 可整除 $(x^m + 1)$ ， $m = 2^n - 1$ ；
- $f(x)$ 除不尽 $(x^q + 1)$ ， $q < m$ ；

则称 $f(x)$ 为本原多项式。

◆ 由【定理12.4】可以简单写出一个线性反馈移存器能产生 m 序列的充要条件为：

反馈移存器的特征多项式为本原多项式。

例

要求用一个**4级**反馈移存器产生 **m 序列**，试求其**特征多项式**。

解

$n = 4$ ，故此移存器产生的 **m 序列**的长度 $m = 2^n - 1 = 15$ 。

特征多项式 $f(x)$ 应可整除 $(x^m + 1) = (x^{15} + 1)$ ，或者说，应该是 $(x^{15}+1)$ 的一个因子，而且还应该是一个**4次本原多项式**。

$$(x^{15} + 1) = \underbrace{(x^4 + x + 1)}_{\text{red}} \underbrace{(x^4 + x^3 + 1)}_{\text{red}} \underbrace{(x^4 + x^3 + x^2 + x + 1)}_{\text{blue}} (x^2 + x + 1) (x + 1)$$

上式表明， $(x^{15}+1)$ 可以分解为 5个既约因子，其中3个是4次多项式。

可以证明，前2个是本原多项式，由其中任何一个都可产生 **m 序列**。

用 $(x^4 + x+1)$ 作为特征多项式构成的4级反馈移存器见上图。

第3个不是，因为 $(x^4 + x^3 + x^2 + x + 1)(x + 1) = (x^5 + 1)$

这就是说，它不仅可整除 $(x^{15}+1)$ ，还可整除 (x^5+1) ，故它不是本原的。

■ 本原多项式表

由上述可见，只要找到了**本原多项式**，我们就能由它构成 **m 序列**产生器。下表中列出了部分已经找到的**本原多项式**：

n	本原多项式		n	本原多项式	
	代数式	8进制表示法		代数式	8进制表示法
2	$x^2 + x + 1$	7	14	$x^{14} + x^{10} + x^6 + x + 1$	42103
3	$x^3 + x + 1$	13	15	$x^{15} + x + 1$	100003
4	$x^4 + x + 1$	23	16	$x^{16} + x^{12} + x^3 + x + 1$	210013
5	$x^5 + x^2 + 1$	45	17	$x^{17} + x^3 + 1$	400011
6	$x^6 + x + 1$	103	18	$x^{18} + x^7 + 1$	1000201
7	$x^7 + x^3 + 1$	211	19	$x^{19} + x^5 + x^2 + x + 1$	2000047
8	$x^8 + x^4 + x^3 + x^2 + 1$	435	20	$x^{20} + x^3 + 1$	4000011
9	$x^9 + x^4 + 1$	1021	21	$x^{21} + x^2 + 1$	10000005
10	$x^{10} + x^3 + 1$	2011	22	$x^{22} + x + 1$	20000003
11	$x^{11} + x^2 + 1$	4005	23	$x^{23} + x^5 + 1$	40000041
12	$x^{12} + x^6 + x^4 + x + 1$	10123	24	$x^{24} + x^7 + x^2 + x + 1$	100000207
13	$x^{13} + x^4 + x^3 + x + 1$	20033	25	$x^{25} + x^3 + 1$	200000011

本原多项式也可用 **8进制** 数字表示。

例如，对于 $n = 4$ 表中给出 “23”，它表示

2	3
0 1 0	0 1 1
$c_5 c_4 c_3$	$c_2 c_1 c_0$

即 $c_0 = c_1 = c_4 = 1, c_2 = c_3 = c_5 = 0$

21.4.2 m序列

1. m序列的产生

2. m序列的性质

1) 均衡性

在 **m序列** 的一个周期中，“1”和“0”的数目基本相等。准确地说，“1”的个数比“0”的个数多一个。

2) 游程分布

游程——指一个序列中取值相同的那些连在一起的元素合。

游程长度——指一个游程中元素的个数。

例

在前例中给出的 m 序列可以重写如下：

$$\begin{array}{c} m = 15 \\ \cdots \overbrace{1\ 0\ 0\ 0\ 1\ 1\ 1\ 1\ 0\ 1\ 0\ 1\ 1\ 0\ 0\ 1\ 0} \cdots \end{array}$$

在其一个周期 (m 个元素) 中，共有8个游程，其中长度为4的游程有1个，即1111，长度为3的游程有1个，即000，长度为2的游程有2个，即1_1和0_0，长度为1的游程有4个，即两个1和两个0。

一般说来，在 m 序列中，长度为1的游程占游程总数的 $1/2$ ；长度为2的游程占游程总数的 $1/4$ ；长度为3的游程占 $1/8$ ；...

严格地讲，长度为 k 的游程数目占游程总数的 $1/2^k$ ，其中 $1 \leq k \leq (n-1)$ 。而且在长度为 k [$1 \leq k \leq (n-2)$] 的游程中，连“1”的游程和连“0”的游程各占一半。

3) 移位相加特性

一个 m 序列 M_p 与其经过任意次延迟移位产生的另一个不同序列 M_r 模2相加, 得到的仍是 M_p 的某次延迟移位序列 M_s , 即

$$M_p \oplus M_r = M_s$$

现在分析一个 $m = 7$ 的 m 序列 M_p 作为例子。设 M_p 的一个周期为 **1110010**, 将其向右移位一次得到另一个序列 M_r 的一个相应周期为 **0111001**。这两个序列的模2和为

$$1110010 \oplus 0111001 = 1001011$$

得出的为 M_s 的一个相应的周期, 它与 M_p 向右移位5次的结果相同。

4) 自相关函数

m 序列的自相关函数为

$$\rho(j) = \begin{cases} 1, & \text{当 } j = 0 \\ -\frac{1}{m}, & \text{当 } j = 1, 2, \dots, m-1 \end{cases}$$

可见： $\rho(j)$ 只有两种取值：**1**和**-1/m**，所以有时也把这类序列称为**双值自相关**序列。

由于 m 序列有周期性，故其自相关函数也有**周期性**，周期也是 m ，即

$$\rho(j) = \rho(j - km), \quad \text{当 } j \geq km, \quad k = 1, 2, \dots$$

且 $\rho(j)$ 是**偶函数**： $\rho(j) = \rho(-j), \quad j = \text{整数}$

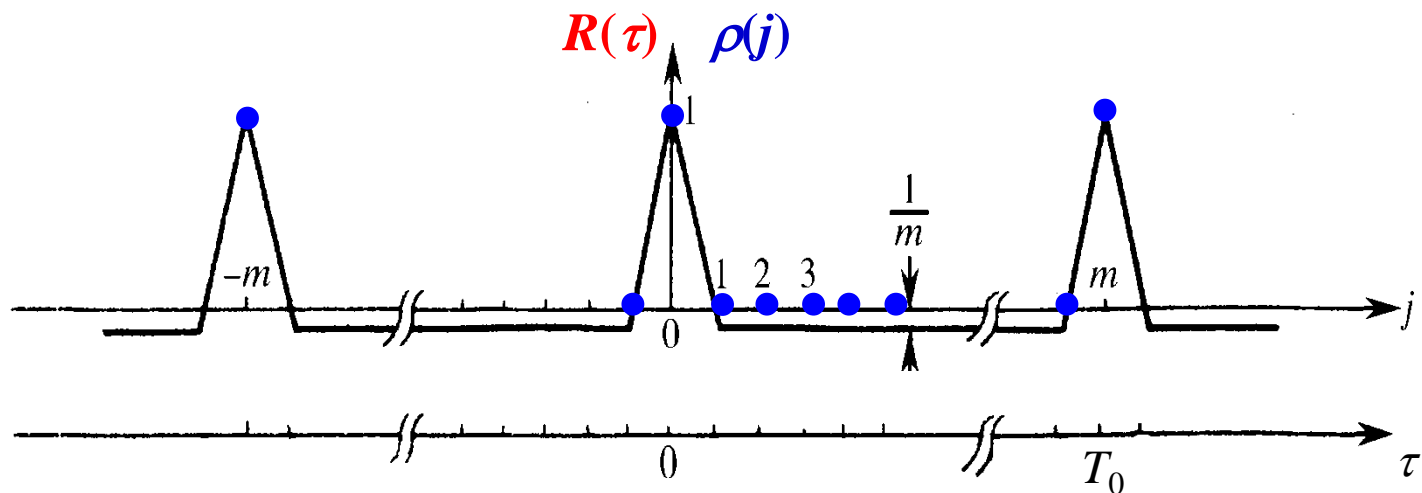
若把 **m 序列** 当作 周期性 连续函数 求其 自相关函数，则从周期函数的自相关函数的定义：

$$R(\tau) = \frac{1}{T_0} \int_{-T_0/2}^{T_0/2} s(t)s(t+\tau)dt \quad [T_0 \text{ 为 } s(t) \text{ 的周期}]$$

可以求出其自相关函数 **$R(\tau)$** 的表示式：

$$R(\tau) = \begin{cases} 1 - \frac{m+1}{T_0} |\tau - iT_0|, & 0 \leq |\tau - iT_0| \leq \frac{T_0}{m}, \quad i = 0, 1, 2, \dots \\ -1/m, & \text{其他处} \end{cases}$$

按照上面的公式画出的 **$\rho(j)$** 和 **$R(\tau)$** 的曲线如下图所示。



图中的圆点表示 j 取整数时的 $\rho(j)$ 取值，折线是 $R(\tau)$ 的连续曲线。可以看出，两者是重合的。由图还可以看出，当周期 T_0 非常长和码元宽度 T_0/m 极小时， $R(\tau)$ 近似于冲激函数 $\delta(\tau)$ 的形状。

由上述可知， m 序列的自相关函数只有两种取值：1 和 $(-1/m)$ 。有时把这类序列称为双值自相关序列。

5) 功率谱密度

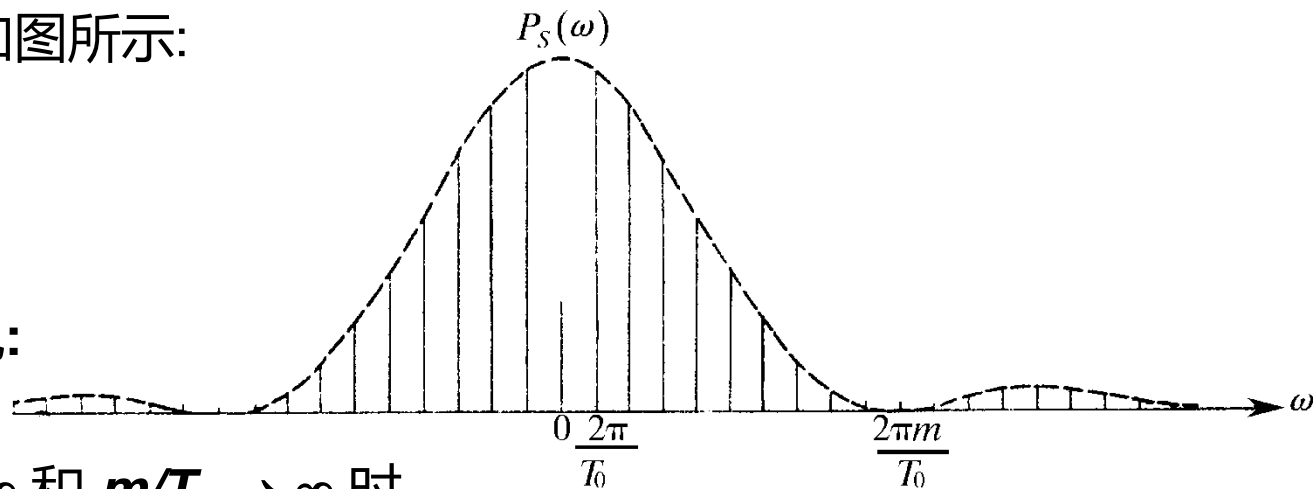
信号的自相关函数与功率谱密度构成一对傅里叶变换。

因此，对 m 序列的自相关函数作傅里叶变换可得其功率谱密度

：

$$P_s(\omega) = \frac{m+1}{m^2} \left[\frac{\sin(\omega T_0 / 2m)}{(\omega T_0 / 2m)} \right]^2 \sum_{\substack{n=-\infty \\ n \neq 0}}^{\infty} \delta\left(\omega - \frac{2\pi n}{T_0}\right) + \frac{1}{m^2} \delta(\omega)$$

其曲线如图所示：



由图可见：

在 $T_0 \rightarrow \infty$ 和 $m/T_0 \rightarrow \infty$ 时，

$P_s(\omega)$ 的特性趋于**白噪声**的功率谱密度特性。

6) 伪噪声特性

负 “-”

对一正态分布白噪声取样，若取样值为**正**，则记为 “+” 。
将每次取样所得极性排成序列，例如：

... + - + + - - - + - + + - - ...

这是一个**随机序列**，它具有如下**3个基本性质**：

- ◆ 序列中 “+” 和 “-” 的出现概率相等。
- ◆ 序列中长度为 k 的游程约占 $1/2^k$ 。而且在长度为 k 的游程中，“+” 游程和 “-” 游程约各占一半。
- ◆ 白噪声的功率谱密度为常数，自相关函数为一冲激函数 $\delta(\tau)$ 。当 $\tau \neq 0$ 时， $\delta(\tau) = 0$ 。仅当 $\tau = 0$ 时， $\delta(\tau)$ 是个面积为1的脉冲。

由于 **m 序列**的均衡性、游程分布和自相关特性与上述**随机序列**的基本性质极为相似，所以将 **m 序列**称为**伪噪声(PN)序列**，或称为**伪随机序列**。

但是，具有或部分具有上述基本性质的**PN序列**不仅只有 **m 序列**一种。 **m 序列**只是其中最常见的一种。除 **m 序列**外， **M 序列**、二次剩余序列（或称为Legendre序列）、霍尔(Hall)序列和双素数序列等都是**PN序列**。

21.5.3 其他伪随机序列简介

1. M序列

- **定义** 由**非线性**反馈移存器产生的周期最长的序列称为M序列：
其周期可达 2^n

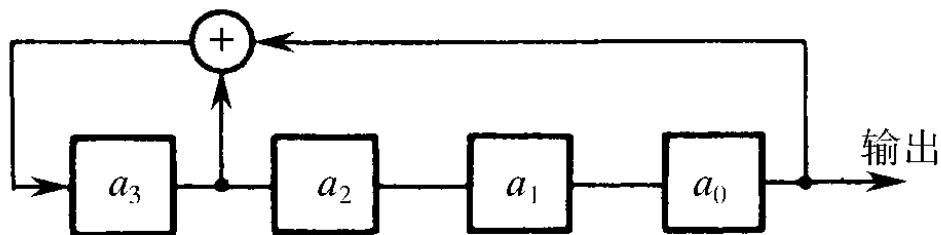
- **M序列的产生：**

下面介绍一种利用 **m序列** 产生器构成 **M序列** 产生器的方法。

仍以前面介绍的 $n = 4$ 级的 **m序列** 产生器为例。下图中给出了它的15种状态。

1	0	0	0
1	1	0	0
1	1	1	0
1	1	1	1
0	1	1	1
1	0	1	1
0	1	0	1
1	0	1	0
1	1	0	1
0	1	1	0
0	0	1	1
1	0	0	1
0	1	0	0
0	0	1	0
0	0	0	1
<hr/>			
1	0	0	0

$2^4 - 1 = 15(\text{个})$



若使它增加一个 “0000” 状态，就可变成 **M序列** 产生器了。

因为移寄存器中后级状态必须是由其前级状态移入而得，故此 “0000” 状态必须处于初始状态 “1000” 之前和 “0001” 状态之后

。

这就是说，需将其递推方程修改为**非线性**方程，使“**0001**”状态代入新的递推方程后，产生状态“**0000**”（而不是“1000”），且在“0000”状态代入后产生状态“**1000**”（而不是保持“0000”不变）。

修改前的递推方程为

$$a_k = \sum_{i=1}^n c_i a_{k-i} = a_{k-1} \oplus a_{k-4}$$

修改后的递推方程应为：

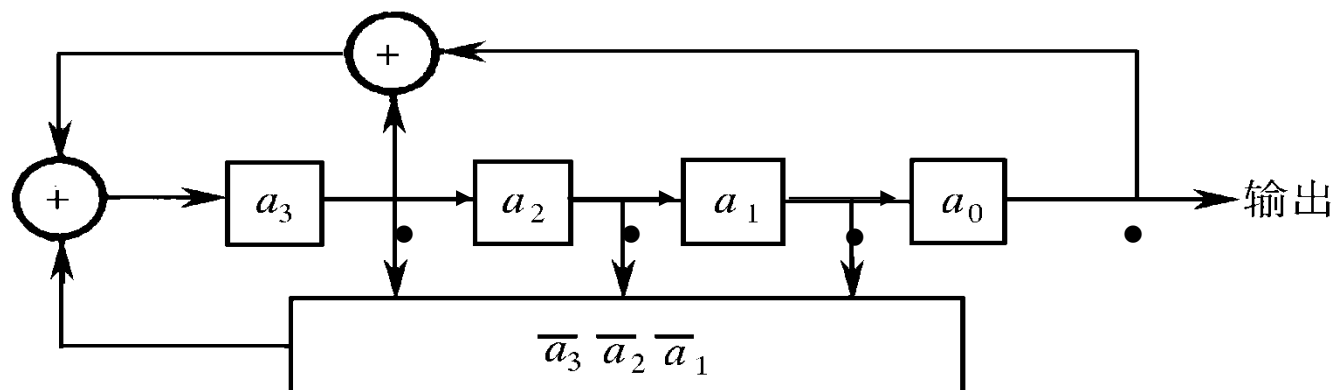
$$\begin{aligned} a_k &= a_{k-1} \oplus a_{k-4} \oplus \bar{a}_{k-1} \bar{a}_{k-2} \bar{a}_{k-3} a_{k-4} \oplus \bar{a}_{k-1} \bar{a}_{k-2} \bar{a}_{k-3} \bar{a}_{k-4} \\ &= a_{k-1} \oplus a_{k-4} \oplus \bar{a}_{k-1} \bar{a}_{k-2} \bar{a}_{k-3} = \sum_{i=1}^4 c_i a_{k-i} \oplus \bar{a}_{k-1} \bar{a}_{k-2} \bar{a}_{k-3} \end{aligned}$$

对于 n 级 m 序列产生器也一样。为使 n 级 m 序列产生器变成 M 序列产生器，也只需使其递推方程改为

$$a_k = \sum_{i=1}^n c_i a_{k-i} \oplus \bar{a}_{k-1} \bar{a}_{k-2} \cdots \bar{a}_{k-n+1} = \sum_{i=1}^n c_i a_{k-i} \oplus \prod_{j=1}^{n-1} \bar{a}_{k-j}$$

有了递推方程，就不难构造出此 M 序列产生器。

一个 4 级 M 序列产生器如下图所示：



■ M序列的性质：

M 序列与 m 序列类似，也在一定程度上具有噪声特性。它满足 m 序列的前两个性质：

(1) 在 **M 序列** 的一个周期中，出现 “1” 和 “0” 的数目相等。

(2) 在 n 级 **M 序列** 的一个周期中，游程共有 2^{n-1} 个，其中长度为 k 的游程占 $1/2^k$ ， $1 \leq k \leq n-2$ ；长为 n 的游程有两个，没有长为 $(n-1)$ 的游程。在同长游程中，“0” 游程和 “1” 游程各占一半。

但是， **M 序列** 不再具有 m 序列 的移位相加特性及双值自相关特性。

■ M序列的优点:

M 序列与 m 序列相比, 最主要的优点是数量大, 即同样级数 n 的移存器能够产生的平移不等价 M 序列总数比 m 序列的大得多, 且随 n 的增大迅速增加。

下表给出了级数 n 与可能产生的两种序列数目的比较:

n	1	2	3	4	5	6	7	8	9	10
m 序列数目	1	1	2	2	6	6	18	16	48	60
M 序列数目	1	1	2	16	2048	6.71088	1.44115	1.32922	2.26156	1.30935
						$\times 10^7$	$\times 10^{17}$	$\times 10^{36}$	$\times 10^{74}$	$\times 10^{151}$

谢谢！